

長崎大学 工学部 正員 岐山 誠
長崎大学 " " " 増田和夫

1. まえがき アーチの軌線形状が、部材自重に対する平衡曲線にヒミタリ限りにあいでは、アーチの安定性に対して、部材自重はほら2次の影響をあよぼさない。しかし、活荷重による変形に伴って、アーチ軌線形状が部材自重に対する平衡曲線でなくばれれば、その結果として、アーチ部材には自重による新たにモーメントが発生し、それがアーチの安定性に重複する影響をあよぼすようになる。この傾向は、剛性の低いアーチあるいは長大スパンのアーチにあい特に顕著になると予想される。アーチの安定性にあよぼす部材自重の影響について Kennedy⁽¹⁾ は偏平な固定円弧アーチの、集中荷重に対する座屈耐荷性能にあよぼす部材自重の効果を理論的にあよび実験的に解析し、偏平な固定円弧アーチの耐候性に対して部材自重が危険側の影響を与えることを明らかにしている。本研究は、任意の軌線形状を有するアーチの、各種荷重に対する座屈耐荷性にあよぼす、アーチ部材自重の影響を解析したものである。

2. 基礎微分方程式 アーチ軸長、支間、基準断面の2次モーメントおよび断面積をもとめられ I_0 , L , E および A_0 とし、せん断力、軸力、曲げモーメント、たわみ角、接線方向変位および法線方向変位を Q , N , M , θ , w および u として $Q = -\frac{L^2}{EI_0} \bar{Q}$, $N = -\frac{L^2}{EI_0} \bar{N}$, $M = -\frac{L}{EI_0} \bar{M}$, $w = \frac{\bar{w}}{L}$, $u = \frac{\bar{u}}{L}$ なる無次元量を導入し、アーチ軌線に沿う変域 $[0, 1]$ の無次元座標を η とすれば部材自重の効果を考慮した変断面任意形アーチの座屈耐荷力方程式は次のようになる。

$$\frac{dQ}{d\eta} + \frac{f}{R_{cp}} N + \gamma v a^2 R_{cp} A_{cp} \cos \varphi \frac{d\theta}{d\eta} - \gamma v a^2 A_{cp} \sin \varphi \cdot \theta - \nu \left[1 - \frac{R_{cp}}{L} \frac{d\theta}{d\eta} \right] \frac{PL^3}{EI_0} + \nu \theta \frac{PL^3}{EI_0} = 0 \quad (1.a)$$

$$\frac{dN}{d\eta} - \frac{f}{R_{cp}} Q - \gamma v a^2 R_{cp} A_{cp} \sin \varphi \frac{d\theta}{d\eta} - \gamma v a^2 A_{cp} \cos \varphi \cdot \theta - \nu \theta \frac{PL^3}{EI_0} - \nu \left[1 - \frac{R_{cp}}{L} \frac{d\theta}{d\eta} \right] \frac{PL^3}{EI_0} = 0 \quad (1.b)$$

$$\frac{dM}{d\eta} - \nu Q + \nu \frac{mL^3}{EI_0} = 0 \quad (1.c) \quad \frac{d\theta}{d\eta} = \sqrt{\frac{I_0}{I_{cp}}} M \quad (1.d) \quad \frac{du}{d\eta} = \frac{f}{R_{cp}} u - \frac{\nu}{a^2} A_{cp} N \quad (1.e) \quad \frac{du}{d\eta} = -\frac{f}{R_{cp}} w + \nu \theta - \frac{\nu}{a^2} A_{cp} Q \quad (1.f)$$

ただし $a^2 = \frac{A_0 L^2}{I_0}$, $\nu = \frac{f}{L}$, $R = \frac{PL^4}{EI_0}$, $\mu = \frac{G}{E}$ であり P , E はもとめられ、アーチ部材の単位容積質量、せん断係数である。また R_{cp} , $\varphi(\eta)$, f , g , m はもとめられ任意の曲率半径、接線の傾斜角、法線方向荷重強度、接線方向荷重強度、分布モーメント荷重強度である。

3. 離散的一般解 自重を考慮した変断面任意形アーチの座屈耐荷力方程式 (1.a) ~ (1.f) は曲率半径 $R(\eta)$ 、断面2次モーメント $I(\eta)$ 、断面積 $A(\eta)$ などを要数係数とする連立微分方程式であり、その解析解を求めるることは困難である。したがって本研究においては①微分方程式の積分方程式への変換と②積分方程式の近似解法の応用により、座屈耐荷力方程式の離散的一般解を求めた。離散的一般解法においては、伝達マトリックス、有限要素法(変位法)および差分法よりも数值解法の收れん性の良好なることが、文献(2)にあいて認められる。鉛直分布荷重を受けるアーチの m 等分点にあけた離散的一般解は (2.a) ~ (2.f) に示すとありである。

$$\begin{bmatrix} Q_i \\ N_i \\ M_i \\ \theta_i \\ w_i \\ u_i \\ \frac{du}{d\eta} \end{bmatrix} = \begin{bmatrix} a_{ii} & a_{ii} & a_{ii} & a_{ii} & a_{ii} & \sum_{j=0}^{i-1} a_{ij} p_j \\ b_{ii} & b_{ii} & b_{ii} & b_{ii} & b_{ii} & \sum b_{ij} p_j \\ c_{ii} & c_{ii} & c_{ii} & c_{ii} & c_{ii} & \sum c_{ij} p_j \\ d_{ii} & d_{ii} & d_{ii} & d_{ii} & d_{ii} & \sum d_{ij} p_j \\ e_{ii} & e_{ii} & e_{ii} & e_{ii} & e_{ii} & \sum e_{ij} p_j \\ f_{ii} & f_{ii} & f_{ii} & f_{ii} & f_{ii} & \sum f_{ij} p_j \\ 0 & 0 & 0 & 0 & 0 & 1 \end{bmatrix} \begin{bmatrix} Q_0 \\ N_0 \\ M_0 \\ \theta_0 \\ w_0 \\ u_0 \\ \frac{du}{d\eta} \end{bmatrix} \quad (2.a) \sim (2.f)$$

$$\text{ただし } a_{ii} = a_{ii0} - \sum_{j=0}^{i-1} \beta_{ij} \left[\frac{f}{R_j} b_{ij} + \nu \left(\gamma a^2 \frac{A_0}{I_0} + \lambda^2 \frac{P}{I_0} \cos \varphi_j \right) \left(\nu \frac{R_i}{L} \frac{I_0}{I_j} \cos \varphi_j \cdot C_{ij} - \sin \varphi_j \cdot d_{ij} \right) \right] \quad (2.a) \sim (2.f)$$

$$-----$$

$$a_{ii0} = 0 \quad (k \neq i), \quad a_{ii0} = 1$$

$$\beta_{ij} = \sum_{n=0}^i \beta_{in} \left\{ \nu d_{nj} - \frac{f}{R_n} e_{nj} - \frac{\nu}{a^2} \frac{A_0}{I_0} a_{nj} \right\} \quad \beta_{ij} : \text{教値積分則の重み係数}$$

4. 座屈条件式 1例として、2ヒンジ

アーチおよび固定アーチの座屈条件式を示す。

$$\begin{vmatrix} C_{1m} & C_{2m} & C_{4m} \\ e_{1m} & e_{2m} & e_{4m} \\ f_{1m} & f_{2m} & f_{4m} \end{vmatrix} = 0 \quad (3)$$

$$\begin{vmatrix} d_{1m} & d_{2m} & d_{3m} \\ e_{1m} & e_{2m} & e_{3m} \\ f_{1m} & f_{2m} & f_{3m} \end{vmatrix} = 0 \quad (4)$$

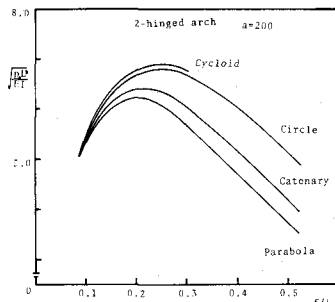


図-1(a)

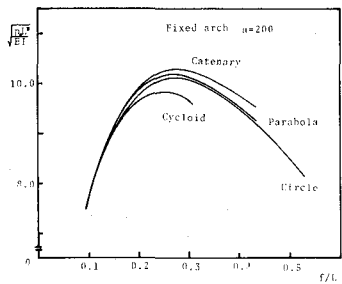


図-1(b)

5. 座屈耐荷力特性 図-1(a)(b)は円弧、放物線

cyclaid および catenary の 4 平面曲線の形状を有する 2 ヒンジアーチと固定アーチに水平荷重が作用する時の座屈耐荷力 $\frac{P_{crL}}{EI_0}$ と拱矢比 f/L との関係を示す。① 2 ヒンジアーチにあり 2 座屈耐荷力は cyclaid が最も高く円弧、catenary、放物線の順で、固定アーチにあり 2 座屈耐荷力は catenary が最も高く放物線、円弧、Cycloid の形状のアーチの順である。② 固定アーチはアーチの形状にかかわらず 2 ヒンジアーチに比べ座屈耐荷力が高く、拱矢比 $f/L = 0.2 \sim 0.3$ 附近で座屈耐荷力は最大値になることが共通しない。

図-2(a)

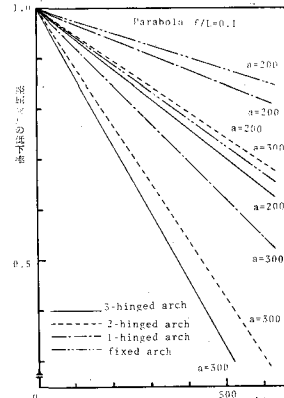
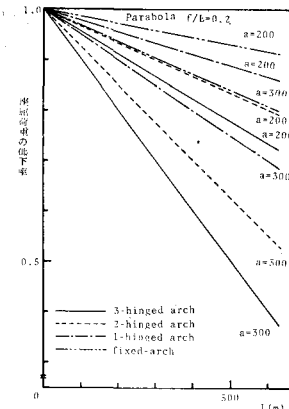


図-2(b)



れる。図-2(a)(b)は拱矢比 $f/L = 0.1, 0.2$ の放物線アーチの座屈耐荷力にあよぼす自重効果と支間長さとの関係を 3 ヒンジ、2 ヒンジ、1 ヒンジ、固定アーチを用いて示し、更に細長比 $a = 200, 300$ についても比較した。自重効果は無視した座屈荷重に対する低下率である。① 拱矢比 $f/L = 0.1, 0.2$ の細長比 $a = 200, 300$ の場合も自重効果は 3 ヒンジアーチが最も大きく、つづく 2 ヒンジ、1 ヒンジ、固定アーチの順である。② 細長比 $a = 200$ に比べ $a = 300$ の場合が自重効果は大きく、これは拱矢比 0.1, 0.2 に共通している。③ アーチの支間長さが 200, 400, 600 と長くなるに伴う自重効果が直線的に大きくなることがわかる。図-3 は(i) 等分布水圧荷重 (ii) 水平単位長につき算強度 η を有する鉛直分布荷重 (iii) 單位延長につき等強度 η を有する鉛直分布荷重が放物線アーチに作用した時の座屈耐荷力 $\frac{P_{crL}}{EI_0}$ と拱矢比 f/L との関係を 3 ヒンジ、2 ヒンジ、1 ヒンジアーチおよび固定アーチについて示した。① 一般的に座屈耐荷力は固定、1 ヒンジ、2 ヒンジ、3 ヒンジアーチの順に低下し、拱矢比 $f/L = 0.2 \sim 0.3$ の附近で座屈耐荷力は最大値になる。② 4 種類のアーチにあり (i) の荷重に対する耐荷性が最も低く (iii), (ii) の順に低下することが共通しない。自重モードは 3 ヒンジ、1 ヒンジアーチは対称型、2 ヒンジ、固定アーチは逆対称型である。

参考文献 1) J.S.Kennedy and S. Aggarwal; Effect of Weight on Large Deflection of Arches,

Proc. ASCE, EM 3, 1971, pp. 637-644.

2) 島山毅、栗原和夫; 変断面梁柱の座屈解法について、長崎大学工学部研究報告第 8 号 昭和 52 年 1 月

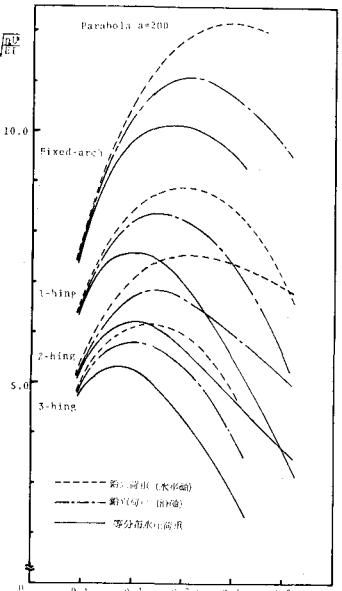


図-3